

# تصفیه آبهای شرب آلوده به نیترات با استفاده از دنیتریفیکاسیون اتوتروفیک در بیوفیلتر هیدروژنی

بی‌تا آیتی<sup>۱</sup>

علی‌اکبر عظیمی<sup>۲</sup>

حسین گنجی‌دوست<sup>۳</sup>

رمضان واقعی<sup>۴</sup>

(دریافت ۸۷/۲/۱۰ پذیرش ۸۸/۶/۲۴)

## چکیده

در این تحقیق سیستمی شامل اتصال یک روش مؤثر و اقتصادی برای تولید در محل و کنترل شده هیدروژن و دی‌اکسید کربن و استفاده از بیوراکتور با بستر ثابت، طراحی شد و توانایی آن در حذف نیترات از آب شرب مورد ارزیابی قرار گرفت. هدف اصلی این پژوهش توسعه یک فناوری ارزان بود که برای یون نیترات کاملاً انتخابی عمل کند و برای دیگر پارامترهای کیفی آب شرب، کمترین تغییرات را داشته باشد. گازهای هیدروژن و دی‌اکسید کربن به ترتیب به‌عنوان دهنده الکترون و منبع کربنی باکتری‌های دنیتریفایر اتوتروفیک، با روشی ارزان با اعمال ولتاژ بسیار پایین برق مستقیم (۱۰-۵ ولت) در راکتور الکتروشیمیایی با الکترولیز متانول تولید شدند و به بیوراکتور دنیتریفیکاسیون تلقیح شده توسط باکتری‌های دنیتریفایری که به‌طور طبیعی در آب حضور دارند، تزریق شد. نتایج بهره‌برداری پایلوت با آب یک چاه آلوده به نیترات با غلظت ۱۲۰ میلی‌گرم در لیتر در آبخوان تهران به مدت ۱۶۰ روز نشان داد که با مصرف انرژی الکتریکی نسبتاً پایین و تنها با تزریق دو گاز بی‌ضرر هیدروژن و دی‌اکسید کربن، بدون افزودن هیچ‌گونه ماده شیمیایی دیگر، برای غلظتهای نیترات معمول موجود در منابع آبی شرب با زمان ماند ۲ تا ۵ ساعت می‌توان به راندمان حذف بیش از ۹۵ درصد دست یافت.

**واژه‌های کلیدی:** حذف نیترات، آب شرب، بیوفیلتر هیدروژنی، دنیتریفیکاسیون اتوتروفیک

## Treatment of Nitrate-contaminated Drinking Water Using Autotrophic Denitrification in a Hydrogenised Biofilter

Ramazan Vagheei<sup>1</sup> Hossein Ganjidoust<sup>2</sup> AliAkbar Azimi<sup>3</sup> Bita Ayati<sup>4</sup>

(Received Apr. 30, 2008 Accepted Sep. 15, 2009)

### Abstract

In this research, a system was designed and constructed that included an efficient, economically feasible method for adjustable, in-situ generation of hydrogen and carbon dioxide coupled with a packed bed bioreactor. The system was subsequently tested for its ability to remove nitrate from drinking water. The major objective was to develop an economical technology with a high selectivity for nitrate ions but causing minimum changes in other drinking water quality parameters. Hydrogen (as the electron donor) and carbon dioxide (as the carbon source for autotrophic denitrifier bacteria) were generated in a cost-effective way by applying a very low DC voltage (5-10 volts) in an electrochemical reactor using methanol electrolysis. The gases were injected into a denitrification bioreactor inoculated with denitrifier bacteria which are naturally present in water. Finally, the system was put to a pilot operation to remove nitrate from a nitrate-contaminated well (a typical contamination range of 120 mg/L as NO<sub>3</sub><sup>-</sup>) in Tehran aquifer for a period of 160 days. The results showed that the system was capable of achieving a nitrate removal efficiency of 95% with an HRT of 2-5 hr while its power consumption was minimal and only required the two harmless gases, hydrogen and carbon dioxide, to be injected without any chemical additions.

**Keywords:** Nitrate Removal, Drinking Water, Hydrogenised Biofilter, Autotrophic Denitrification

1. Ph.D. Student of Civil and Environmental Eng., Tarbiat Modares University, Tehran
2. Prof. of Civil and Environmental Eng., Tarbiat Modares University, Tehran (Corresponding Author) (+98 21) 82883332 h-ganji@modares.ac.ir
3. Assist. Prof. of Civil and Environmental Eng., Azad University, Ahar Branch
4. Assist. Prof. of Civil and Environmental Eng., Tarbiat Modares University, Tehran

- ۱- دانشجوی دکتری مهندسی عمران- محیط زیست، دانشگاه تربیت مدرس، تهران
- ۲- استاد مهندسی عمران- محیط زیست، دانشگاه تربیت مدرس، تهران  
(نویسنده مسئول) ۸۲۸۸۳۳۳۲ (۲۱) h-ganji@modares.ac.ir
- ۳- استادیار دانشکده مهندسی محیط زیست، دانشگاه آزاد اسلامی، واحد اهر
- ۴- استادیار مهندسی عمران- محیط زیست، دانشگاه تربیت مدرس، تهران

## ۱- مقدمه

حساسیت‌های تصفیه آب شرب، به‌عنوان یک فناوری مناسب، جایگزین روشهای موجود شود.

## ۲- مواد و روشها

### ۱-۲- غنی‌سازی و جداسازی باکتری‌ها

باکتری‌های دنیتروفاयर اکسیدکننده هیدروژن از گل ولای موجود در یک نمونه آب از یکی از چاههای آلوده به نیترات موجود در آبخوان تهران با غلظت  $(\text{mg/L NO}_3^-)$  ۱۲۰ جداسازی شدند. ۲۰۰ میلی‌لیتر از دوغاب به یک فلاسک ۲ لیتری حاوی آب زیرزمینی آلوده به نیترات شامل ۲/۰ گرم در لیتر  $\text{KNO}_3$ ، ۲/۰ گرم در لیتر  $\text{NaHCO}_3$ ، بافر و محلول حاوی مواد زیر مغذی با غلظت ۱ میلی‌گرم در لیتر انتقال داده شد. لازم به‌ذکر است بافر مذکور حاوی  $\text{KH}_2\text{PO}_4$  و  $\text{K}_2\text{HPO}_4$  ۱/۷۴ گرم در لیتر و  $\text{ZnSO}_4 \cdot 7\text{H}_2\text{O}$  ۷/۳ گرم در لیتر،  $\text{MgSO}_4 \cdot 7\text{H}_2\text{O}$  ۲/۲ گرم در لیتر،  $\text{CaCl}_2 \cdot 2\text{H}_2\text{O}$  ۲/۵ گرم در لیتر،  $\text{MnCl}_2 \cdot 4\text{H}_2\text{O}$  ۰/۵ گرم در لیتر،  $\text{CoCl}_2 \cdot 6\text{H}_2\text{O}$  ۰/۵ گرم در لیتر،  $(\text{NH}_4)_6\text{Mo}_7\text{O}_{24} \cdot 4\text{H}_2\text{O}$  ۰/۵ گرم در لیتر،  $\text{FeSO}_4 \cdot 7\text{H}_2\text{O}$  ۰/۲ گرم در لیتر،  $\text{CuSO}_4 \cdot 5\text{H}_2\text{O}$  و pH برابر ۷ می‌باشد [۱۰ و ۱۱]. پس از آن فلاسک به مدت یک ساعت در لرزاننده<sup>۲</sup> کاملاً مخلوط گردید.

### جدول ۱- واکنش‌های زنجیره‌ای دنیتروفیکاسیون با استفاده از $\text{H}_2$ و

رابطه استوکیومتریکی بین  $\text{H}_2/\text{NO}_3^-$  و بیومس تولیدی با ترکیب شیمیایی



۱- احیای نیترات:  $\text{NO}_3^- + \text{H}_2 \rightarrow \text{NO}_2^- + \text{H}_2\text{O}$

۲- احیای نیتريت:  $\text{NO}_2^- + 0.5 \text{H}_2 + \text{H}^+ \rightarrow \text{NO}(\text{g}) + \text{H}_2\text{O}$

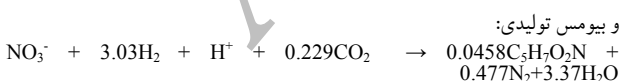
۳- احیای اکسید نیتريك:  $2\text{NO}(\text{g}) + \text{H}_2 \rightarrow \text{N}_2\text{O}(\text{g}) + \text{H}_2\text{O}$

۴- احیای اکسید نیتروس:  $\text{N}_2\text{O}(\text{g}) + \text{H}_2 \rightarrow \text{N}_2(\text{g}) + \text{H}_2\text{O}$

۵- واکنش کلی تبدیل نیتريت به  $\text{N}_2(\text{g})$ :  $2\text{NO}_2^- + 3\text{H}_2 + 2\text{H}^+ \rightarrow \text{N}_2 + 4\text{H}_2\text{O}$

۶- واکنش کلی دنیتروفیکاسیون از  $\text{NO}_3^-$  به  $\text{N}_2(\text{g})$ :  $2\text{NO}_3^- + 5\text{H}_2 + 2\text{H}^+ \rightarrow \text{N}_2(\text{g}) + 6\text{H}_2\text{O}$

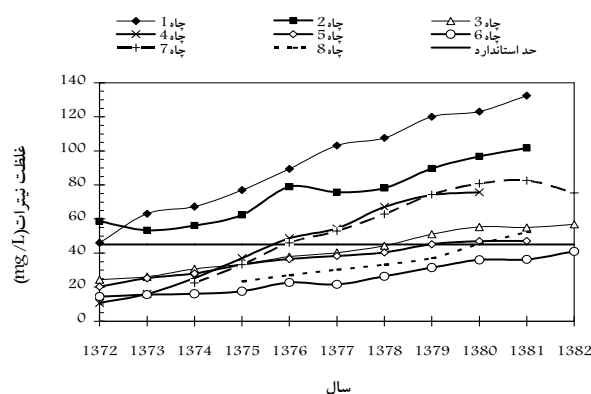
۷- واکنش استوکیومتریکی بین الکترون دهنده (هیدروژن) و الکترون گیرنده (نیترات) و بیومس تولیدی:



### ۲-۲- بیوراکتور دنیتروفیکاسیون

پایلوت آزمایشگاهی فرایند به‌صورت شماتیک در شکل ۲، نشان داده شده است. فرایند مورد استفاده در این تحقیق از یک ستون

آلودگی منابع آب شرب به نیترات یک مشکل جهانی است که به سرعت رو به گسترش است. امروزه نیترات به‌دلیل اثرات مخربی که بر سلامت انسان دارد به‌عنوان یکی از مهم‌ترین آلاینده‌های آب شرب شناخته می‌شود. از زمان کشف بیماری متهمگلوبینمیآ<sup>۱</sup> در نوزادان، تحقیقات انجام شده ارتباط بین ترکیبات موسوم به N-nitrose و بروز سرطان‌های مری و معده و نیز اثرات سوء بر سلامت جنین، سقط جنین، سیستم اعصاب و برخی سرطان‌های دیگر را به اثبات رسانده‌اند [۱-۵]. در بسیاری از مناطق به‌دلیل عدم دسترسی به منابع آبی جایگزین به ناچار غلظت نیترات در آب شرب از میزان استاندارد وضع شده توسط سازمان‌های مسئول مانند USEPA، WHO و استاندارد و تحقیقات صنعتی ایران فراتر می‌رود. حد مجاز نیترات در آب شرب  $\text{NO}_3^- \text{N}$  ۱۰ mg/L یا ۴۵ mg/L nitrate تعیین شده است. در شکل ۱، روند سریع افزایش غلظت نیترات در ۸ حلقه چاه پایش در آبخوان مشهد نشان داده شده است [۶].

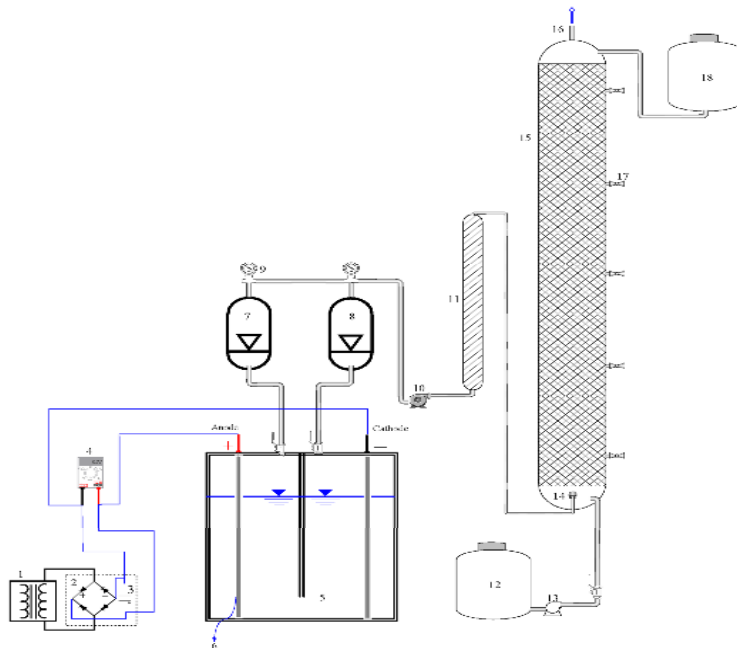


شکل ۱- روند افزایشی سریع غلظت نیترات در هشت حلقه چاه آب شرب شهر مشهد مقدس

در این تحقیق با هدف استفاده از مزایای فرایند زیستی، به‌منظور غلبه بر محدودیتهای آن در تصفیه آب شرب، از دنیتروفیکاسیون اتوتروفیک به‌عنوان گزینه‌ای مناسب استفاده شد. باکتری‌های اکسیدکننده هیدروژن از جمله باکتری‌های اتوتروفیکی هستند که به‌طور طبیعی در آب زیرزمینی حضور دارند و امروزه در بیوفناوری کاربرد فراوانی یافته‌اند [۷ و ۸]. این باکتری‌ها قادراند تا از گاز کاملاً بی‌ضرر و غیرسمی  $\text{H}_2$  به‌عنوان منبع انرژی و از بیکربنات و یا گاز  $\text{CO}_2$  به‌عنوان منبع کربن استفاده نمایند (جدول ۱). این فرایند می‌تواند مشکلات مربوط به استفاده از منبع کربن آلی در فرایند تصفیه را کاملاً از بین برده و به‌دلیل سازگاری با

<sup>۱</sup> Methemoglobinemia

<sup>۲</sup> Shaker



۱- ترانسفورماتور متغیر AC ۲- رکتیفایر<sup>۱</sup> ۳- خازن ۴- ولت‌متر و آمپر‌متر دیجیتال ۵- محلول الکترولیت شامل متانول، آب و پتاس ۶- صفحات گرافیت (EK20) ۷- جمع‌آوری‌کننده گاز دی‌اکسید کربن ۸- جمع‌آوری‌کننده گاز هیدروژن ۹- دی‌سنج گازی ۱۰- کمپرسور ایرووله شده جهت تزریق گاز ۱۱- سیستم خشک‌کننده گاز شامل گرانول‌های کربن فعال و سیلیکاژل ۱۲- مخزن ذخیره آب از چاه آلوده به نیترات ۱۳- پمپ پرستالتیک<sup>۲</sup> ۱۴- سنگ هوای حباب ریز ۱۵- بیوراکتور با بستر ثابت ۱۶- گازهای مازاد خروجی ۱۷- شیرهای نمونه برداری ۱۸- مخزن ذخیره آب تصفیه شده خروجی

شکل ۲- دیاگرام پایلوت ساخته شده شامل سیستم الکتروشیمیایی تولید گاز و بیوراکتور دنیتریفیکاسیون

<sup>1</sup> Rectifier  
<sup>2</sup> Peristaltic

### ۳-۲- سیستم تولید گاز الکتروشیمیایی

دستگاه تولید‌کننده گازهای مورد نیاز در این تحقیق شامل یک سلول الکتروشیمیایی چهاربخشی از جنس پلکسی‌گلس به ارتفاع ۳۵، عرض ۲۰ و طول ۲۰ سانتی‌متر با ضخامت جداره ۱۰ میلی‌متر بود که به چهار سل به ابعاد 10 cm×10 cm×35 cm تقسیم گردید. چهار زوج آند و کاتد به ارتفاع ۲۵ و عرض ۱۰ سانتی‌متر و ضخامت ۱۰ میلی‌متر از جنس گرافیت با دانسیته بالا موسوم به EK 20 محصول گروه صنعتی SGL<sup>۵</sup> کشور آلمان با سطح مستغرق ۵۲۷ سانتی‌متر مربع و فاصله ۴ سانتی‌متر در هر سل قرار گرفتند. محلول الکترولیت شامل متانول ۹۹/۹ درصد محصول شرکت مرک<sup>۶</sup> و یک محلول ایجاد‌کننده هدایت الکتریکی شامل آب مقطر و پتاس با خلوص ۹۹ درصد محصول شرکت مرک با نسبت متانول به آب ۳:۱ و غلظت پتاس ۸ مولار بود. دستگاه الکترولیز توسط یک منبع تغذیه جریان مستقیم و متغیر با قابلیت تولید ولتاژ خروجی ۶۰ تا ۳۵ آمپر مجهز به ولت‌متر و آمپر‌متر دیجیتال تغذیه شد.

استوانه‌ای از جنس پلکسی‌گلس<sup>۳</sup> به قطر داخلی ۱۱/۷ سانتی‌متر و ارتفاع ۱۲۰ سانتی‌متر ساخته شد که ۱۰ سانتی‌متر کف آن به‌عنوان محفظه ورودی و تزریق گاز و ۱۰ سانتی‌متر بالای آن نیز به‌عنوان محفظه خروجی عمل می‌نمود. این ستون به شیرهای نمونه‌برداری در ورودی و خروجی و ارتفاع ۳۰ و ۶۰ سانتی‌متر از کف مجهز شد و توسط دانه‌های رسی پخته شده سبک موسوم به لیکا<sup>۴</sup> با قطر ۳ تا ۵ میلی‌متر، دانسیته خشک ۰/۴۷۴/گرم بر سانتی‌متر مکعب و تخلخل مفید ۴۸ درصد به‌عنوان بستر رشد زیستی پر شد. محلول تلقیح میکربی راه‌انداز که در مرحله قبل آماده گردید با ۷/۵ لیتر آب زیرزمینی آلوده که غلظت نیترات آن با استفاده از ۲ گرم در لیتر  $KNO_3$  تنظیم شده بود، با هدف تشکیل بیوفیلم مناسب، به بیوراکتور وارد شد. پس از تلقیح میکربی، گازهای  $H_2$  و  $CO_2$  تولید شده توسط سیستم تولید گاز، به ترتیب با ۱۳۲ و ۸۳ میلی‌لیتر بر دقیقه توسط سنگ هوای حباب ریز از کف تزریق شدند و عملیات تزریق گاز به مدت یک هفته در دمای آزمایشگاه ۱۸ تا ۲۳ درجه سلسیوس ادامه یافت.

<sup>5</sup> SGL Group Inc.  
<sup>6</sup> Merck

<sup>3</sup> Plexiglass  
<sup>4</sup> LECA

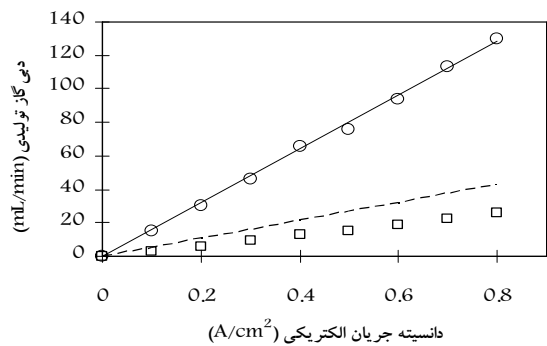
## ۲-۴- روشهای اندازه‌گیری

در این تحقیق غلظت یون‌های نیترات، نیتريت و فسفات توسط دستگاه هچ<sup>۱</sup> مدل DR/4000 با استفاده از کیت‌های پودری استاندارد مطابق دستورالعمل مربوطه مورد اندازه‌گیری قرار گرفت (نیترات با استفاده از روش 8171<sup>۲</sup> و روش 8039<sup>۳</sup>، نیتريت با روش 8507<sup>۴</sup> و فسفات با روش 8048<sup>۵</sup>). غلظت هیدروژن در آب نیز به کمک دستگاه کروماتوگراف گازی<sup>۶</sup> اندازه‌گیری شد. دما و pH با استفاده از یک دستگاه pH متر دیجیتال اندازه‌گیری شدند. آنالیزهای باکتریایی با روش شمارش بشقاب<sup>۷</sup> انجام شد [۱۳]. ولتاژ و شدت جریان به کمک یک دستگاه دیجیتال اندازه‌گیری شدند.

## ۳- نتایج و بحث

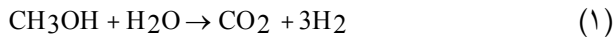
### ۳-۱- سیستم تولید گاز

میزان گازهای H<sub>2</sub> و CO<sub>2</sub> تولید شده در راکتور الکتروشیمیایی با الکترولیت ترکیبی آب، پتاس و متانول در آند و کاتد با توجه به فاکتورهای مختلف مورد ارزیابی قرار گرفت. در این تحقیق با نسبت متانول به آب ۳:۱ و مولاریته ۸ برای KOH، شرایط بهینه تولید گاز در نظر گرفته شد یعنی شرایطی که دستیابی به حداکثر نرخ تولید محصول با اعمال حداقل ولتاژ و شدت جریان ممکن، حداقل مصرف انرژی الکتریکی را داشته باشد. نتایج نشان داد که میزان H<sub>2</sub> تولیدی از میزان تئوریک آن بر اساس قوانین فارادی در الکتروشیمی به خوبی تبعیت می‌کند ولی میزان CO<sub>2</sub> تولیدی از میزان تئوریک آن فاصله دارد (شکل ۳).



شکل ۳- رابطه نرخ تولید گازهای هیدروژن و دی اکسید کربن با دانسیته جریان

واکنش تئوریک الکترولیز متانول نشان می‌دهد که با تجزیه یک مول متانول گازهای H<sub>2</sub> و CO<sub>2</sub> با نسبت مولی ۳:۱ تولید می‌شوند.

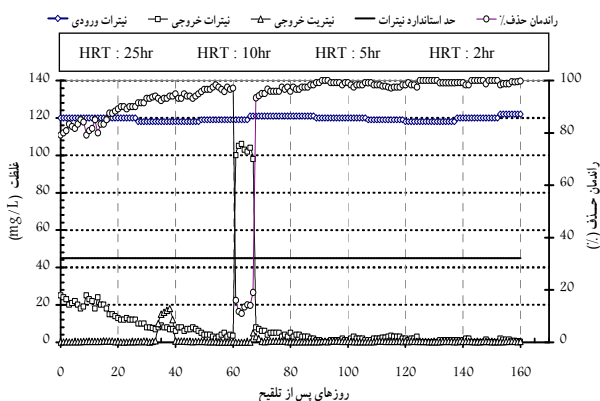


ولی در حضور KOH به دلیل تبدیل مقداری از گاز CO<sub>2</sub> به یون‌های کربنات و بیکربنات مقدار CO<sub>2</sub> تولیدی کمتر از مقدار تئوریک است.

### ۳-۲- عملکرد بیوراکتور دنیتریفیکاسیون

بر اساس داده‌های اندازه‌گیری شده مربوط به نیترات در ورودی و خروجی بیوراکتور در مراحل بهره‌برداری با زمان‌های ماند مختلف، راندمان حذف نیترات محاسبه گردید (شکل ۴).

در ابتدای راه اندازه‌گیری فرایند، به دلیل اینکه هنوز ضخامت بیوفیلم به حد کافی نرسیده بود، نوسانات راندمان حذف نیترات نسبتاً زیاد بود ولی این شرایط به تدریج بهبود یافت و پس از ۸۵ روز لایه ۱ تا ۲ میلی‌متری بیوفیلم بر سطح دانه‌های لیکا شکل گرفت که در این زمان حتی با زمان ماند هیدرولیکی ۱۰ ساعت نیز غلظت نیترات در خروجی بسیار کم بود. فرایند دنیتریفیکاسیون غالباً نسبت به تغییرات pH حساسیت دارد [۱۴ و ۱۵]. با افزایش pH، تجمع یون نیتريت، مشکلات اساسی در فرایندهای زیستی ایجاد می‌نماید ولی در این سیستم به دلیل محیط بافری ایجاد شده، تجمع نیتريت مشاهده نشد و نیترات به‌طور مستقیم به گاز نیتروژن تبدیل و جابجایی H<sub>2</sub> و CO<sub>2</sub> تزریقی باعث تسهیل خروج گاز تولیدی در فرایند دنیتریفیکاسیون از سیستم گردید. در این تحقیق با توجه به زمان ماند در مرحله پایدار، نرخ حذف نیترات به ۳۳۸/۷ (g NO<sub>3</sub><sup>-</sup>-N/m<sup>3</sup>.d) رسید (جدول ۲). این مقدار برای کاربرد فرایند در مقیاس عملی نرخ حذف قابل قبولی است.



شکل ۴- عملکرد بیوراکتور در حذف نیترات با زمان‌های ماند هیدرولیکی مختلف

<sup>1</sup> Hach

<sup>2</sup> Medium Range 0 to 5.0 (mg / L NO<sub>3</sub> - N)

<sup>3</sup> High Range 0 to 30.0 (mg / L NO<sub>3</sub> - N)

<sup>4</sup> Low Range 0 to 0.300 (mg / L NO<sub>2</sub> - N)

<sup>5</sup> 0 to 2.500 (mg / L PO<sub>4</sub><sup>3-</sup>)

<sup>6</sup> Gas Chromatography (GC)

<sup>7</sup> Spread Plate Method

جدول ۲- مقایسه سیستم‌های دنیتریفیکاسیون هیدروژنوتروفیک

| مرجع       | دما<br>(°C) | غلظت ورودی<br>(mg NO <sub>3</sub> <sup>-</sup> /L) | نرخ حذف<br>(g NO <sub>3</sub> <sup>-</sup> -N/m <sup>3</sup> .d) | نوع راکتور                                 | مدیا                                      | میکروارگانیسم   |
|------------|-------------|--|--|--|---|-----------------|
| [۱۶]       | ۱۰/۵        | ۷۵   | ۴۰۰  | بستر ثابت <sup>۱</sup>                     | پلاستیک                                   | Mixed           |
| [۱۷]       | ۳۰          | ۱۱۱  | ۱۳۰  | بستر شناور <sup>۲</sup>                    | ماسه <sup>۳</sup>                         | Mixed           |
| [۱۸]       | ۱۲-۲۰       | ۲۲۱  | ۲۰۰  | بستر ثابت                                  | مکعبهای اسفنجی<br>پلی‌اورتان <sup>۴</sup> | A. eutrophus    |
| [۱۸]       | ۱۲-۲۰       | ۶۶   | ۵۰۰  | بستر ثابت                                  | مکعبهای اسفنجی پلی‌اورتان                 | Seeded          |
| [۱۹]       | ۱۵          | ۸۰-۹۰  | ۳۱۰-۳۴۰  | بستر ثابت                                  | زغال <sup>۵</sup>                         | Mixed           |
| [۱۰]       | ۳۰          | ۹۷-۱۱۱   | ۶۰۰-۷۰۰  | بستر شناور                                 | پلی‌اکریل آمید <sup>۶</sup>               | Mixed           |
| [۲۰]       | ۲۰          | ۱۲۴  | ۳۴۳  | بستر ثابت                                  | شن نخودی <sup>۷</sup>                     | Rhodocyclus sp. |
| [۲۱]       | ۲۰          | ۱۱۱  | ۵۵۲  | بیوراکتور غشای فیبر<br>توخالی <sup>۸</sup> | فیبر توخالی <sup>۸</sup>                  | Mixed           |
| تحقیق حاضر | ۱۸-۲۳       | ۱۲۰  | ۳۳۹  | بستر ثابت                                  | لیکا                                      | Mixed           |

- 1 Fixed Bed
- 2 Sand
- 3 Fluidized Bed
- 4 Pu Sponge Cubes
- 5 Charcoal
- 6 Polyacrylamide
- 7 Pea Gravel
- 8 Hallow-fiber
- 9 Hallow Fiber Membrane Bioreactor

داشت. نرخ حذف نیترات در این فرایند با آب چاه طبیعی معادل  $338/7$  (g NO<sub>3</sub><sup>-</sup>-N/m<sup>3</sup>.d) به دست آمد که ممکن است با شرایط محلی مختلف، تغییر نماید.

#### ۵- قدردانی

این تحقیق با حمایت مالی معاونت پژوهش و مطالعات پایه شرکت مدیریت منابع آب ایران وابسته به وزارت نیرو با کد پروژه ENV1-85052 و مشارکت معاونت پژوهشی دانشگاه تربیت مدرس انجام شده است که به این وسیله قدردانی می‌شود.

#### ۴- نتیجه‌گیری

ارزیابی سیستم طراحی شده در این تحقیق به منظور حذف نیترات نشان داد که می‌توان برای آبهای شربی که تنها دارای نیترات بیش از حد استاندارد هستند، بدون تزریق هیچ‌گونه ماده شیمیایی دیگر و تنها با تزریق دوگاز بی‌ضرر و پاک هیدروژن و دی‌اکسید کربن به حذف اختصاصی نیترات با راندمان بیش از ۹۵ درصد، دست یافت. این فرایند برای راه‌اندازی به زمان نسبتاً بالایی (حدود ۲ تا ۳ ماه) نیاز دارد ولی بعد از رسیدن به حالت پایدار با زمان ماند هیدرولیکی تا ۲ ساعت می‌توان انتظار عملکرد مناسبی برای حذف نیترات

#### ۶- مراجع

- 1- WHO. (2003). *Guidelines for drinking water quality*, 3<sup>rd</sup> Ed., World Health Organization, Geneve.
- 2- Yang, C. Y., Wu, D. C., and Chang, C. C. (2007). "Nitrate in drinking water and risk of death from colon cancer in Taiwan." *Environment International*; DOI:10.1016/j.envint.

- 3- U.S. Environmental Protection Agency (U.S. EPA). (1987). *Nitrate-nitrite health advisory office of drinking water*, U.S. Government Printing Office, Washington, D.C.
- 4- Nitrate Elimination Co., Inc. (NECI) (1998). "Nitrate: health risks to consumers." <<http://www.nitrate.com/nitrate>> (July 16, 2007)
- 5- Tricker, A. R. P. R. (1991). "Carcinogenic N-nitrosamines in the diet: Occurrence, formation, mechanisms and carcinogenic potential." *Mutat. Res.*, 259, 277-289.
- 6- Vagheei, R., Ganjidust, H., Ayati, B., and Azimi, A. (2008) "An economic hydrogen and carbon dioxide generator for application to hydrogenotrophic denitrification of drinking water in practical scales." *International Conference on Environment (ICENV 2008)*, Penang, Malaysia.
- 7- Richard, S., Ceazan, M. L., Brooks, M. H. (1994). "Autotrophic, hydrogen-oxidizing, denitrifying bacteria in groundwater, potential agents for bioremediation of nitrate contamination." *Environmental Microbiology*, 60 (6) 1949-1955.
- 8- Bruce, R. E., and McCarty, P.L. (2001). *Environmental biotechnology principles and applications*, McGraw-Hill New York.
- 9- Reising, A. R., and Schroeder, E. D. (1996). "Denitrification incorporating microporous membranes." *Environmental Engineering*, 122 (7), 599-604.
- 10- Chang, C. C., Tseng, S. K., and Huang, H. K. (1999). "Hydrogenotrophic denitrification with immobilized *Alcaligenes eutrophus* for drinking water treatment." *Bioresource Technology*, 69, 53-58.
- 11- Ho, C. M., Tseng, K. S., and Chang, Y. J. (2001). "Autotrophic denitrification via a novel membrane-attached biofilm reactor." *Applied Microbiology*, 33 (3), 201-205.
- 12- Zumft, W.G., Balows, A., Truper, H. G., Dworkin, M., Harder, W.H., and Schleifer, K. (2006). "The prokaryotes: a handbook on the biology of bacteria, vol. 2. New York: *Springer-Verlag*, 793-817.
- 13- AWWA, APHA, WEF. (2005). *Standard methods for the examination of water and wastewater*, 21<sup>th</sup> Ed., American Public Health Association, USA.
- 14- Glass, C., and Silverstein, J. (1998). "Denitrification kinetics of high nitrate concentration water: pH effect on inhibition and nitrate accumulation." *Wat. Res.*, 32 (3), 831-839.
- 15- Lee, K. C., and Rittmann, B. E. (2003). "Effects of pH and precipitation on autohydrogenotrophic denitrification using the hollow-fiber membrane-biofilm reactor." *Wat. Res.*, 37 (1-3), 1551-1556.
- 16- Gross, H., Schnoor, G., and Rutten, P. (1988). "Biological denitrification process with hydrogen-oxidizing bacteria for drinking water treatment." *Water Supply*, 6 (3), 193-198.
- 17- Kurt, M., Dunn, I. J., and Bourne, J. R. (1987). "Biological denitrification of drinking water using autotrophic organisms with H<sub>2</sub> in a fluidized bed biofilm reactor." *Biothechnology Bioengineering*, 29, 493-501.
- 18- Dries, D., Liessens, J., Verstrate, W., Stevens, P., de Vos, P., and de Ley, J. (1988). "Nitrate removal from drinking water by means of hydrogenotrophic denitrifiers in a polyurethane carrier reactor." *Water supply*, 6 (3), 181-192.
- 19- Ginocchio, J. (1984) "Nitrate levels in drinking water becoming too high." *Water Treatment*, 88, 143-147.
- 20- Smith, R. L., Buckwalter, S.P., Deborah, A., Repert, D., and Miller, N. (2005). "Small-scale, hydrogen-oxidizing-denitrifying bioreactor for treatment of nitrate-contaminated drinking water." *Wat. Res.*, 39, 2014-2023.
- 21- Lee, K.C., and Rittmann, B. E. (2002). "Applying a novel autohydrogenotrophic hollow-fiber membrane biofilm reactor for denitrification of drinking water." *Wat. Res.*, 36, 2040-2052.